

- Postkinematiska intrusiv**
Postkinematic intrusions
- Diabas / - som smala gångar / - som gångar, geofysiskt indikerade
Dolerite / - as narrow dykes / - as dykes indicated from geophysical data
(Radiumindex: 0,1 ± 0,1)
 - Kvartsmonzonitisk gång
Quartz-monzonitic dyke
 - Gångar eller små massiv av applit, granit och pegmatit /
- i sen- och postkinematiska intrusiv
Dykes or minor massifs of apatite, granite and pegmatite /
- in late and postkinematic intrusions
 - Grovporyrkisk granit, röd - rödgrå ("Revsundsgranit")
Coarse-grained porphyritic granite, red to reddish grey ("Revsund granite")
(Radiumindex: 0,32 ± 0,21)
 - Medel- till grovkornig, rödgrå - grå granit, heterogent ögonförande ("Revsundsgranit")
Medium to coarse-grained, reddish grey to grey granite, heterogeneously porphyritic ("Revsund granite")
(Radiumindex: 0,31 ± 0,17)
 - Medelkornig, rödgrå kvartsmonzonit
Medium-grained, reddish grey quartz monzonite
(Radiumindex: 0,22 ± 0,11)
 - Finkornig, massformig, rödgrå trondhjemit
Fine-grained, massive, reddish grey trondhjemite
(Radiumindex: 0,04 ± 0,04)
- Senkinematiska intrusiv**
Latekinematic intrusions
- Fin- till medelkornig, rödgrå granit ("Hörnögranit"), jämnkornig / porfyrisk
Fine- to medium-grained, reddish grey granite ("Hörnö granite"), even-grained / porphyritic
(Radiumindex: 0,30 ± 0,23)
 - Migmatitgranit bestående av pegmatit, medel- till finkornig granit och applit
Migmatitic granite, composed of pegmatite, medium- to fine-grained granite and apatite
 - Smala gångar av metadiabas (Mdb) eller amfibolit (A)
Narrow dykes of metadiabole (Mdb) or amphibolite (A)
(Radiumindex: 0,1 ± 0,1)
- Ädregnejsomvandling / stark migmatitisering / mikroklinoen**
Metasediments / strong migmatization / microcline
- Ädregnejsomvandling / stark migmatitisering / mikroklinoen
Metasediments / strong migmatization / microcline
(Radiumindex: 0,25 ± 0,12 till 0,28 ± 0,14)
 - Rekristallisering med gnejsig textur / massformig textur
Recrystallization with gneissic texture / massive texture
- Pre- till synkinematiska intrusiv**
Pre- to synkinematic intrusions
- Fin- till medelkornig granit - granodiorit
Fine- to medium-grained granite - granodiorite
(Radiumindex: 0,27 ± 0,26)
 - Granit - granodiorit, ögonförande / tonalit
Granite - granodiorite, augen-bearing / tonalite
 - Diorit eller amfibolit av osäker härkomst och ålder / - som sönderbrutna tunna skikt eller skivor
Diorite or amphibolite of uncertain origin and age / - as disrupted thin sheets
 - Gabbro - diorit / ultramafisk bergart
Gabbro - diorite / ultramafic rock
(Radiumindex: 0,1 ± 0,1)
- Senokambrika yfbergarter**
Proterozoic upper crustal rocks
- Basisk metavulkanit, ospecificerad / skiktad
Basic metavolcanite, unspecified / layered
 - Basisk metavulkanit, som tunna skikt eller skivor / pillowlava
Basic metavolcanite, as thin sheets / pillow lava
(Radiumindex: 0,02 ± 0,02)
 - Skarn i tunna skikt eller sliror
Ca-silicate rock (skarn) as thin layers or schlieren
(Radiumindex: 0,6 ± 0,3)
 - Metagraväcka, ospecificerad eller övervägande metaarenisk /
med kvartstiska skikt
Metagreywacke, unspecified or mainly meta-arenitic / with quartzitic layers
(Radiumindex: 0,23 ± 0,14)
 - Metagraväcka, tydligt skiktad / med grafit- och/eller sulfidförande horisonter
Metagreywacke, layered / with graphite- and/or sulphide-bearing horizons
(Radiumindex: 0,46 ± 0,19)
 - Sur metavulkanit, ryolit - ryodacit
Acid metavolcanite, rhyolite - rhyodacite
(Radiumindex: 0,3 ± 0,1)
- Veckaxel / stänglighet med gradtal för stupning /**
- horisontell
Fold axis / lineation, plunge in degrees / - horizontal
- Föreskifffing eller gnejsbändning med gradtal för stupning /**
- brant / - vertikal / - varierande
Schistosity or gneissosity, dip in degrees / - steep / - vertical /
- highly variable
- Lagring med gradtal för stupning / - brant / - vertikal**
Layering, dip in degrees / - steep / - vertical
- Uppåt i lagerföljd**
Way up direction
- Geofysiskt indikerad strykning / kontakt med gradtal för stupning / - brant / - vertikal**
Dip and strike determined from geophysical data, dip in degrees /
- steep / - vertical
- Lineament**
Lineament
- B M**
Breccia / mylonit
Breccia / mylonite
- Fragment, ospecificerad / delvis upp lösta**
Xenoliths, unspecified / partly associated
- Fragment av metasediment / metabasit**
Xenoliths of metasediment / metabasite
- a g s**
Andalusit (a), cordierit (c), granat (g), sillimanit (s)
Andalusite (a), cordierite (c), garnet (g), sillimanite (s)
- gf t**
Grafit (gf), hornblände (h), turmalin (t)
Graphite (gf), hornblende (h), tourmaline (t)
- Nedlagt stenbrott**
Abandoned quarry
- Häll, observerad / endast flygbildstolkad**
Outcrop, observed / interpreted from aerial photographs
- Höjdnivåer, ekvidistans 5 m**
Contour lines, interval 5 m
- A B**
Profil
Section

Radiumindex är ett mått på mängden radium i ett material. Detta index skall för byggnadsmaterial vara mindre än 1,0 (SBN 1980 31:143). Radiumindex ovan är angivet med det aritmetiska medelvärdet och dess standardavvikelse.

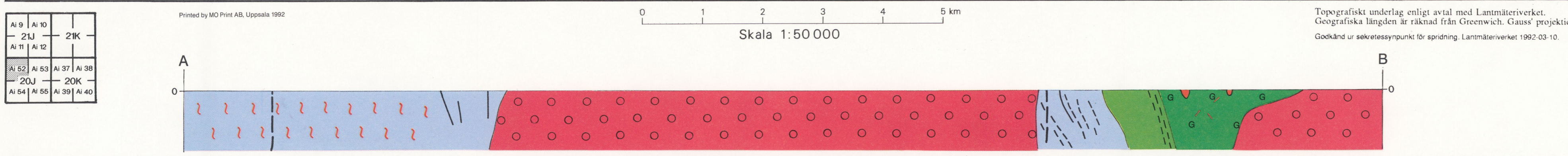
Den geologiska karteringen har utförts åren 1986-1989 av Leif Björk med biträde av Sam Sukojo och extrageologerna Kevin Andersson (1988), Erika Ingvald (1988), Maria Jeppsson (1987, 1988), Jörgen Langhof (1988, 1989), Per Nysten (1987), Henrik Skogby (1986, 1987), Annika Wasström (1986-1988) och Fredrik Öhm (1986).

Den geofysiska tolkningen baserad på flygmagnetiska, flygelektriska och flygradimetriska mätningar samt tryckkraftsmätningar och markgeofysiska mätningar jämte petrofysiska undersökningar har utförts åren 1986-1989 av Leif Kero med biträde av personal från den geofysiska enheten.

På kartbladen 20 J Vännäs NV och SV utgörs det flyggeofysiska underlaget enbart av flygmagnetiska data från Boliden Mineral AB.

Boliden Mineral AB har välvilligt bidragit med geologiskt och geofysiskt material.

Kartan är sammanställd av Leif Björk och Leif Kero. Renrningen har gjorts av Marja Ekholm. Referens till kartorna: Björk, L. och Kero, L., 1992: Berggrundskartorna 20 J Vännäs, 1:50 000. SGU ser. Ai nr 52-55.



Topografiskt underlag enligt avtal med Lantmäteriverket.
Geografiska längden är räknad från Greenwich. Gauss' projektion.
Godkänd ur sekretessynpunkt för spridning. Lantmäteriverket 1992-03-10.

Ai 9	Ai 10		
2U	2K		
Ai 11	Ai 12		
Ai 52	Ai 53	Ai 37	Ai 38
20J	20K		
Ai 54	Ai 55	Ai 39	Ai 40